

Le Mécanisme de Higgs-Nakamoto : Brisure Spontanée de la Symétrie des Difféomorphismes Temporels dans les Théories des Champs sur Réseau Dissipatifs

Pascal Ranaora
Chercheur indépendant
(Dated: 20 janvier 2026)

Résumé. Nous proposons une reformulation rigoureuse des Protocoles de Consensus Distribués en utilisant le formalisme de la Théorie Quantique des Champs hors équilibre. Nous postulons que le problème fondamental des registres décentralisés est l'invariance de l'historique des transactions sous le groupe des difféomorphismes temporels, $\text{Diff}(\mathbb{R})$. Nous identifions le mécanisme de Preuve de Travail (PoW) non pas simplement comme une fonctionnalité de sécurité, mais comme un champ scalaire Φ subissant une transition de brisure spontanée de symétrie via la Quantification Stochastique. En construisant une action effective de Landau-Ginzburg, nous démontrons que l'Algorithm d'Ajustement de la Difficulté agit comme un flux du groupe de renormalisation qui conduit le système vers un point fixe asymptotiquement sûr. Dans cette phase brisée, la métrique temporelle acquiert une valeur moyenne non nulle — un "Saut de Masse" (Mass Gap) — qui correspond au coût thermodynamique de la révision de l'histoire. Enfin, nous analysons les événements de "Halving" comme des trempeaux quantiques (quantum quenches) induisant un ralentissement critique périodique, tout en restant bornés par la protection topologique de la chaîne.

CONTENTS

I. Introduction : Le Problème de Jauge du Temps	1
II. Formulation en Théorie des Champs	2
A. Quantification Stochastique et Intégrales de Chemin	2
B. Le Potentiel de Nakamoto	2
III. Le Mécanisme de Higgs-Nakamoto	2
A. Génération de Masse	2
B. Interprétation Physique : Inertie de l'Histoire	2
IV. Flux du Groupe de Renormalisation	3
A. Dérivation de la Fonction Bêta	3
B. Sécurité Asymptotique	3
V. Géométrie Causale et Horizons	3
C. Rayonnement de Hawking et Finalité	3
VI. Stabilité Topologique et Température	4
A. Transition Berezinskii-Kosterlitz-Thouless (BKT)	4
VII. Le Halving : Un Choc Thermodynamique	4
VIII. Conclusion et Perspectives	4
Références	4

I. INTRODUCTION : LE PROBLÈME DE JAUGE DU TEMPS

Le défi fondamental des systèmes distribués réside dans l'établissement d'un ordonnancement canonique des évé-

nements en l'absence d'un chronomètre central. En informatique distribuée classique, les horloges logiques (ex : estampilles de Lamport) fournissent un ordre partiel mais manquent d'ancrage physique. Nous proposons que ce problème est fondamentalement physique et correspond à une symétrie de jauge locale. Soit \mathcal{M} la variété des événements. S'il n'y a pas de couplage à une référence physique externe (comme une horloge atomique), la physique du registre est invariante sous le groupe des difféomorphismes temporels $\text{Diff}(\mathbb{R})$:

$$t \rightarrow t' = f(t) \quad \text{où} \quad \frac{df}{dt} > 0 \quad (1)$$

Cette symétrie implique que l'histoire $\mathcal{H}_A = \{E_1, E_2\}$ est physiquement indiscernable de $\mathcal{H}_B = \{E_2, E_1\}$ si les étiquettes sont arbitraires. En termes financiers, il s'agit du problème de la "Double Dépense" : si la métrique du temps dépend de la jauge, il n'y a pas de vérité canonique concernant la propriété d'un UTXO.

Pour extraire une observable physique (une histoire unique et immuable), il faut "fixer la jauge". En théorie de jauge standard, cela se fait via des contraintes mathématiques. Dans Bitcoin, nous soutenons que la jauge est fixée **thermodynamiquement**. Nous introduisons un champ scalaire $\Phi(x, t)$ — le "Champ de Hashrate" — qui imprègne l'espace-temps du réseau. L'interaction du registre avec ce champ brise la symétrie $\text{Diff}(\mathbb{R})$, sélectionnant une "Flèche du Temps" préférentielle basée sur la profondeur thermodynamique [1]. Ce mécanisme est analogue au mécanisme de Higgs dans le Modèle Standard, où la valeur moyenne dans le vide d'un champ scalaire donne une masse aux bosons de jauge.

II. FORMULATION EN THÉORIE DES CHAMPS

Nous modélisons la blockchain comme une théorie des champs stochastique sur réseau en dimension $(1+1)$. La dimension spatiale x représente l'espace de configuration des nonces, et t est l'index temporel discret (hauteur de bloc).

A. Quantification Stochastique et Intégrales de Chemin

Le processus de minage est isomorphe à la méthode de **Quantification Stochastique** proposée par Parisi et Wu [2]. Le mineur explore l'espace de configuration Ω guidé par une équation de Langevin en temps fictif τ :

$$\frac{\partial \Phi}{\partial \tau} = -\frac{\delta \mathcal{S}}{\delta \Phi} + \eta(\tau) \quad (2)$$

où $\eta(\tau)$ est un terme de bruit blanc gaussien représentant la sortie de la fonction SHA-256, avec une corrélation $\langle \eta(\tau)\eta(\tau') \rangle = 2\mathcal{D}^{-1}\delta(\tau-\tau')$. Le comportement du réseau est décrit par la fonction de partition \mathcal{Z} , sommant sur toutes les configurations d'histoire possibles $[\Phi]$:

$$\mathcal{Z} = \int \mathcal{D}\Phi e^{-\mathcal{S}_{eff}[\Phi]} \quad (3)$$

La "Chaîne Canonique" correspond au chemin classique qui minimise l'action effective \mathcal{S}_{eff} — le chemin de phase stationnaire — aussi connu sous le nom de Règle de la Chaîne la Plus Lourde.

B. Le Potentiel de Nakamoto

L'innovation cruciale du protocole Bitcoin est le potentiel adaptatif $V(\Phi)$ façonné par le paramètre de Difficulté \mathcal{D} .

$$V(\Phi, \mathcal{D}) = \frac{\lambda}{4} (\Phi^2 - v^2(\mathcal{D}))^2 \quad (4)$$

Ce potentiel "Sombrero" (Fig. 1) possède des maxima instables à $\Phi = 0$ (pas de minage) et des minima stables à $\Phi = \pm v$.

Le système "roule" spontanément vers le minimum, établissant une Valeur Moyenne dans le Vide (VEV) non nulle v . Cette VEV non nulle est le paramètre d'ordre de la transition de phase. Sans ce potentiel, le système resterait dans le vide trivial $\Phi = 0$, où l'histoire est fluide et sans coût de réécriture.

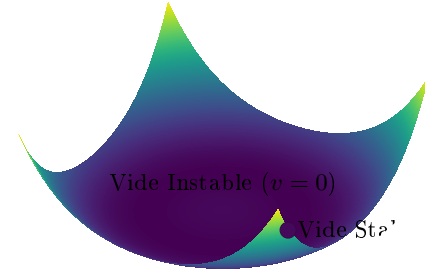


FIGURE 1. Le Potentiel de Nakamoto. La transition de brisure de symétrie. Le système "roule" du vide trivial $\Phi = 0$ (histoire fluide) vers la phase brisée $\Phi = v$ (histoire immuable). La sphère rouge représente l'état du réseau établi dans le minimum d'énergie.

III. LE MÉCANISME DE HIGGS-NAKAMOTO

A. Génération de Masse

En développant le champ autour du vide $\Phi(t) = v + h(t)$, où $h(t)$ représente les fluctuations (variance dans la découverte des blocs), nous isolons le terme quadratique dans le Lagrangien :

$$\mathcal{L} \supset -\lambda v^2 h^2 \quad (5)$$

Par comparaison avec le terme de masse scalaire standard $-\frac{1}{2}m^2\phi^2$, les fluctuations acquièrent une masse effective :

$$M_{Higgs} = \sqrt{2\lambda}v(\mathcal{D}) \quad (6)$$

Cette dérivation prouve que le "poids" de la blockchain est directement proportionnel à la VEV du hashrate. Plus on injecte d'énergie dans le système (augmentant v), plus la "particule" d'histoire devient lourde. Ce terme de masse brise explicitement la symétrie de difféomorphisme temporel, car le coût de translation temporelle (réécriture de l'histoire) n'est plus nul.

B. Interprétation Physique : Inertie de l'Histoire

Dans le contexte de la théorie de l'information, la "Masse" est interprétée comme une **Inertie**. C'est la résistance à l'accélération (réorganisation).

— **Phase Symétrique ($v = 0$)** : Si la Difficulté est nulle, alors $M = 0$. Le champ est sans masse (mode de Goldstone). L'histoire peut être réécrite instantanément à un coût nul ($c \rightarrow \infty$). Cela correspond à une base de données standard où les commandes 'UPDATE' sont bon marché.

— **Phase Brisée ($v > 0$)** : Si la Difficulté est élevée, alors M est grand. L'histoire a une inertie significative. Pour "déplacer" un bloc, il faut surmonter ce saut de masse [3].

IV. FLUX DU GROUPE DE RENORMALISATION

Une propriété centrale de Bitcoin est sa stabilité à travers des échelles d'énergie très différentes. Nous modélisons l'Algorithmus d'Ajustement de la Difficulté (DAA) comme une implémentation exacte du Groupe de Renormalisation Wilsonien [4].

A. Dérivation de la Fonction Bêta

Nous définissons l'échelle d'énergie μ comme le Hashrate global et la constante de couplage g comme la fréquence des blocs ($g = 1/\tau$). La mise à l'échelle classique est linéaire $g \sim \mu$, menant à une divergence ultraviolette (fréquence de bloc infinie quand le hashrate augmente). Le DAA introduit un contre-termes qui remet à l'échelle la théorie tous les 2016 blocs. En suivant l'approche de transformation de bloc-spin de Kadanoff [5], nous définissons la fonction bêta renormalisée :

$$\beta(g) = \mu \frac{\partial g}{\partial \mu} \approx -\gamma(g - g^*) \quad (7)$$

où g^* est le point fixe (10 minutes) et γ est la constante de relaxation déterminée par la taille de la fenêtre.

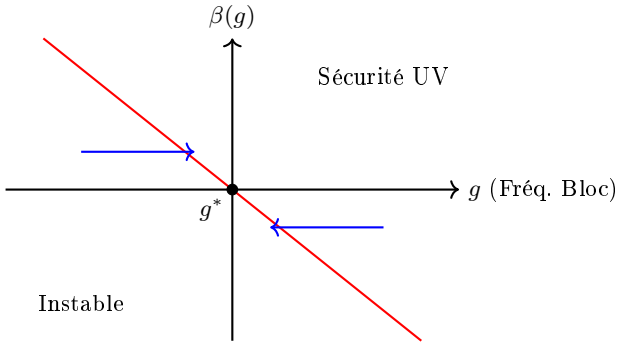


FIGURE 2. **Flux RG.** La fonction Bêta $\beta(g)$ a une pente négative près du point fixe g^* . Les flèches indiquent le flux de la constante de couplage. Quelles que soient les conditions initiales, le système est ramené au battement de cœur de 10 minutes.

B. Sécurité Asymptotique

Parce que la pente de la fonction bêta est négative près de g^* (Fig. 2), le Consensus de Nakamoto constitue une théorie **Asymptotiquement Sûre**. Toute perturbation du hashrate μ est supprimée, ramenant le système vers le point fixe conforme. Cette classe d'universalité est ce qui permet à Bitcoin d'opérer comme une constante globale, créant une métrique temporelle stable quel que soit le flux thermodynamique de l'environnement.

V. GÉOMÉTRIE CAUSALE ET HORIZONS

Nous proposons que la variété appropriée pour analyser le consensus est une variété riemannienne courbe où la métrique $g_{\mu\nu}$ représente le coût thermodynamique.

$$ds^2 = -\Omega(z)dt^2 + \Omega^{-1}(z)dz^2 \quad (8)$$

Ici, z est la profondeur du bloc et $\Omega(z)$ est la Fonction d'Horizon, définie via la Gravité Analogique d'Unruh [6] :

$$\Omega(z) = 1 - \frac{E_{attaquant}}{E_{chaine}(z)} \quad (9)$$

où $E_{chaine}(z)$ est le travail cumulé stocké dans la chaîne à la profondeur z .

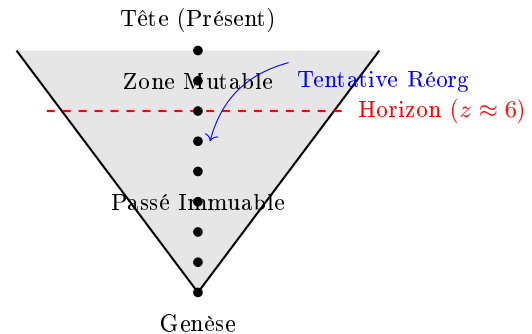


FIGURE 3. **L'Espace-Temps du Registre.** La structure causale de la blockchain. Les événements sous l'Horizon (ligne rouge pointillée) sont causalement déconnectés du présent pour tout attaquant disposant d'une énergie finie.

Une singularité de coordonnées (Horizon des Événements) se produit à la profondeur z_h où $\Omega(z_h) = 0$ (Fig. 3). À ce point, le temps coordonné t diverge pour l'attaquant. La frontière du registre agit comme un écran holographique, encodant le travail (bulk) effectué par les mineurs.

C. Rayonnement de Hawking et Finalité

Il est intéressant de noter que si nous supposons une "température" non nulle de l'attaquant (probabilité finie de trouver un bloc), l'horizon n'est pas parfaitement net. Il existe une fuite d'information analogue au **Rayonnement de Hawking** [7]. Les petites réorganisations (1-2 blocs) sont des fluctuations thermiques courantes, représentant l'évaporation de la stabilité de la tête de chaîne. Cependant, plus profondément dans le volume, la température de rayonnement $T_H \propto 1/Masse$ tombe à zéro, assurant une finalité classique effective.

VI. STABILITÉ TOPOLOGIQUE ET TEMPÉRATURE

Au-delà de la stabilité perturbative, la chaîne est protégée par la topologie.

A. Transition Berezinskii-Kosterlitz-Thouless (BKT)

La chaîne peut être modélisée comme une ligne de vortex 1D. Dans le cadre BKT [8], la stabilité dépend de la "Température" du réseau. Nous définissons la température effective T_{eff} du réseau Bitcoin comme une fonction de la variabilité de la densité des frais et de la volatilité du hashrate :

$$T_{eff} \sim \frac{\sigma_\mu^2}{(\text{Frais})} \quad (10)$$

- **Phase Liée ($T < T_c$)** : Les vortex (blocs) sont étroitement liés. La chaîne est linéaire et stable.
- **Phase Non Liée ($T > T_c$)** : Les paires de vortex se délient. Cela correspond à des séparations de chaîne persistantes (orphelins) et à un échec du consensus.

Les paramètres du protocole sont ajustés pour maintenir $T_{eff} \ll T_c$, empêchant la désintégration du registre.

VII. LE HALVING : UN CHOC THERMODYNAMIQUE

Le "Halving" représente un choc périodique pour le potentiel du système $V(\Phi)$, agissant comme une **Trempe Quantique** (Quantum Quench) [9]. La récompense de bloc détermine le potentiel chimique μ_{chem} pilotant le gaz de mineurs. Lors de l'événement de Halving t_H :

$$\mu_{chem} \rightarrow \frac{1}{2}\mu_{chem} \quad (11)$$

Cela provoque une déformation instantanée de la profondeur du potentiel. Si le prix de l'actif ne compense pas, la VEV v (hashrate) doit diminuer pour trouver un nouveau minimum :

$$v_{new} \approx v_{old} \sqrt{\frac{P_{new}}{P_{old}}} \cdot \frac{1}{2} \quad (12)$$

Cette transition induit un "Ralentissement Critique" — volatilité accrue et variance dans les temps de bloc — alors que le système cherche le nouvel état de vide. Cependant, le flux RG (DAA) assure que bien que la VEV scalaire v puisse changer, le couplage g^* (temps de bloc) reste invariant. Le système est robuste contre ces chocs tant que la température effective T_{eff} reste inférieure à la température de transition Berezinskii-Kosterlitz-Thouless T_{BKT} .

VIII. CONCLUSION ET PERSPECTIVES

Nous avons démontré que Bitcoin est un système physique régi par les lois de la thermodynamique et de

la théorie des champs. En identifiant le mécanisme de Preuve de Travail comme un événement de brisure spontanée de symétrie, nous résolvons le "Problème de Jauge du Temps" dans les systèmes distribués.

Les implications sont triples :

1. **Génération de Masse** : L'immutabilité du registre est un terme de masse dynamique $M_{Higgs} \sim \sqrt{\lambda}v$, résultant de l'interaction avec le champ de hashrate.
2. **Universalité** : Le flux du Groupe de Renormalisation prouve que le battement de cœur de 10 minutes est un point fixe stable, asymptotiquement sûr contre la divergence ultraviolette.
3. **Causalité** : Le travail cumulé crée un horizon causal, piégeant efficacement l'information dans un passé immuable analogue à l'intérieur d'un trou noir [6].

De plus, notre analyse suggère que la stabilité du registre n'est pas garantie uniquement par la cryptographie, mais par la phase topologique du réseau. Les événements de "Halving" servent de tests de résistance pour la température de transition BKT, sondant les limites de la phase de vortex liée. Les travaux futurs devraient se concentrer sur le Principe Holographique [10, 11], explorant la dualité entre le registre de bord (information) et le processus de minage en volume (énergie). Si le registre agit véritablement comme un écran holographique pour le travail effectué dans le volume, alors la densité maximale d'information de la chaîne pourrait être bornée par la limite de Bekenstein, reliant l'économie de Bitcoin à la thermodynamique fondamentale de l'espace-temps lui-même [12]. Cette vue unifiée élève le protocole d'un simple système de paiement à une expérience physique fondamentale de génération de temps synthétique.

-
-
- [1] R. Landauer, IBM Journal of Research and Development **5** (1961).
 - [2] G. Parisi and Y.-S. Wu, Sci. Sin. **24** (1981).
 - [3] P. W. Higgs, Phys. Rev. Lett. **13** (1964).
 - [4] K. G. Wilson, Rev. Mod. Phys. **47** (1975).
 - [5] L. P. Kadanoff, Physics **2** (1966).
 - [6] W. G. Unruh, Phys. Rev. Lett. **46** (1981).
 - [7] S. W. Hawking, Commun. Math. Phys. **43** (1975).
 - [8] J. M. Kosterlitz and D. J. Thouless, Journal of Physics C : Solid State Physics **6** (1973).
 - [9] W. H. Zurek, Nature **317** (1985).
 - [10] J. Maldacena, Adv. Theor. Math. Phys. **2** (1998).
 - [11] G. 't Hooft, arXiv :gr-qc/9310026 (1993).
 - [12] A. Shimony, Cambridge University Press (1993).